# ペプチド科学を基盤技術に用いた 膜タンパク質と生体膜の研究

京都大学化学研究所の河野健一と申します。この度、大阪府立大学の中瀬生彦先生からお誘い頂きまして、寄稿させて頂くことになりました。私は、2014年3月に京都大学大学院薬学研究科、松崎勝巳教授指導の下で博士(薬学)の学位を取得しました。卒業後、2014年4月から



河野 健一

同大学ウイルス研究所附属新興ウイルス研究センターで特定助教として1年3ヶ月,2015年7月からは出身研究室(松崎勝巳教授)と同大学物質-細胞統合システム拠点(楠見明弘教授)でそれぞれ3ヶ月間と6ヶ月間,博士研究員として研鑚を積みました。そして,2016年4月から,現職,同大学化学研究所(二木史朗教授)に助教として着任し,現在に至っております。以下に、学生時代から現在まで取り組んでいる研究内容についてご紹介させて頂きます。

#### 1. はじめに

細胞膜上に発現する膜タンパク質は、生体でのシグナル伝達やイオン透過などの機能を担っており、生命を維持する上で欠かせない役割を果たしています。その挙動は複雑な脂質組成をもつ膜環境中でダイナミックに変化するため、生体膜中でリアルタイムに測定する手法が望まれています。近年の研究により、膜タンパク質の機能は構造変化だけでなく、会合状態によっても調整され得ると報告されているため、会合状態を明らかにすることは創薬上重要な課題となっています。

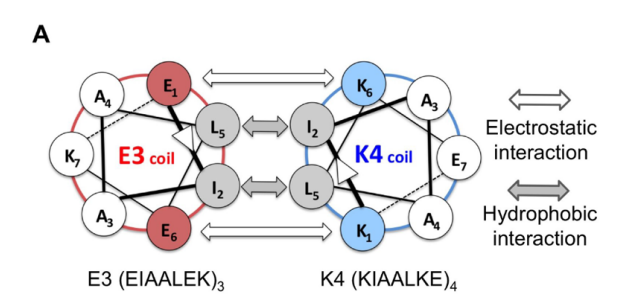
現在. タンパク質間の相互作用を研究する上で汎用 されている手法は、破壊的測定法と非破壊的測定法に 大別することが出来ます。前者の代表例として共免疫 沈降法などが挙げられますが、この手法は、本来存在 するべき生体膜から膜タンパク質を可溶化しているた め、相互作用するはずのないタンパク質との凝集が 検出されることもあり、必ずしも膜上の会合状態を 反映しているとは限りません。後者の代表例として. 蛍光共鳴エネルギー移動 (FRET) と生物発光共鳴エ ネルギー移動(BRET)があります。FRET 法および BRET 法は、これまで目的タンパク質に蛍光発光タン パク質を融合させる手法が汎用されていますが、蛍光 発光タンパク質融合体は、1)細胞膜表面だけでなく 細胞内に局在するタンパク質からも蛍光が検出される ため細胞内のシグナルが膜上の FRET / BRET シグナ ルを干渉する恐れがある事、2)ドナー融合体とアク セプター融合体の発現比をコントロールするのは容易 ではないため定量性に欠ける事, 3) 蛍光発光タンパ ク質そのもののサイズが約27kDaと非常に大きいた めに目的タンパク質本来の挙動に悪影響を及ぼす可能 性がある事. 4) コントロールタンパク質で手法の正 確性を確認する論文が少ない事、などの問題点が挙げ られます。従って、生体膜中における膜タンパク質の 会合状態を正確に解析できる手法が未だに確立されて

いないのが現状です。

本研究では、京大・松崎研究室で開発された小分子蛍光ラベル法(コイルドコイルラベル<sup>1</sup>)で生細胞膜上の膜タンパク質を特異的に蛍光標識し、FRETを用いて膜タンパク質の会合状態を定量的に解析する方法を確立するとともに、会合状態に関して論争のある  $\beta_2$ アドレナリン受容体( $\beta_2$ AR)や、安定な四量体と考えられている A型インフルエンザウイルス M2タンパク質の解析を行いました。

### 2. コイルドコイルラベル法の原理と特徴

図1Aで示すように、コイルドコイルラベル法<sup>1,2</sup>は、 負電荷ペプチドである E3 (EIAALEK)<sub>3</sub> (正味の電荷: -3) と正電荷ペプチドである K4 (KIAALKE)<sub>4</sub> (正 味の電荷:+4) 間で形成される強固で特異的なヘテ ロ二量体に基づく標識法です。グルタミン酸残基とリ シン残基間での静電的相互作用およびロイシン残基と イソロイシン残基間での疎水性相互作用がその駆動力 となっています。まず、E3タグを目的タンパク質の N末端に遺伝子導入し、生細胞に発現させます。次 に. 固相合成した K4ペプチドの N 末端を蛍光標識し, 外部から生細胞に加えることで簡潔にラベルが完了し ます。このラベル法の利点として、1)ラベル時間が わずか1分で完了する事, 2)帯電した K4プローブ は膜非透過性であるため膜表面上の目的タンパク質の みをラベルすることが出来る事(**図2A**), 3)高い結 合力 (K<sub>d</sub>~5 nM) を有しているため50 nM で90%の目 的タンパク質をラベルできる事。4)ドナーとアクセ



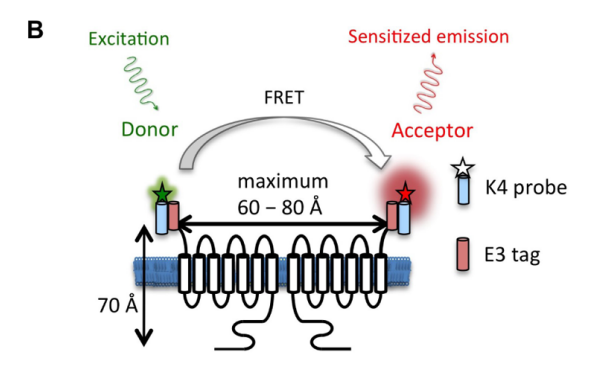


図 1 コイルドコイルラベル法と多量体形成タンパク質間 FRET の模式図 (A) E3と K4のヘリカルコイル図。 E と K 間の静電気的相互作用と L と I 間の疎水性相 互作用が駆動力として働く。(B) GPCR 二量体形成 時の FRET 模式図。励起されたドナーからアクセプ ターへとエネルギー移動が起きる。Alexa568-647ペア は GPCR 二量体の最大距離60-80 Å をカバーできる臨 界移動距離  $R_0$  (=82 Å) をもつ。

プターのラベル比率を正確にコントロールすることが 可能である事, 5)分子量が5-6 kDa と小分子である ため膜タンパク質の機能に悪影響を与えない事, など が挙げられます。特に, 4)はFRETを用いた会合 状態の定量的な解析法に必要不可欠な点です。

### 3. 会合状態の定量的解析法の確立

FRET の蛍光色素ペアとして、臨界移動距離  $R_0$  (50% の FRET 効率を与える距離) が82 Å あるドナーーアクセプターペア(Alexa Fluor 568-647)を用いました。これは、比較的サイズの大きい  $\beta_2$ AR(単量体:30-40 Å)³が多量体を形成した場合でも FRET を検出できるようにするためです(図1B)。ドナーとアクセプターの K4プローブで膜タンパク質を共染色した後(図2A)、共焦点顕微鏡で観察し、細胞膜部分のスペクトル情報から以下の式に基づいて、見かけ上の FRET 効率( $E_{app}$ )の実測値を算出しました。

$$E_{app} = \frac{\varepsilon_A(\lambda_D^{ex})}{\varepsilon_D(\lambda_D^{ex})} \times \left(\frac{F_{AD} - F_A}{F_A}\right)$$
 [  $\vec{x}$ , 1]

 $\epsilon_{A}(\lambda_{D}^{ex})$ :ドナー励起波長に於けるアクセプターの

モル吸光係数

 $\epsilon_D(\lambda_D^{ex})$  : ドナー励起波長に於けるドナーのモル吸

光係数

 $\cdot F_{AD}$  :ドナー存在下でのアクセプターの蛍光強

度

 $\cdot F_A$  :ドナー非存在下でのアクセプターの蛍光

強度(注1)

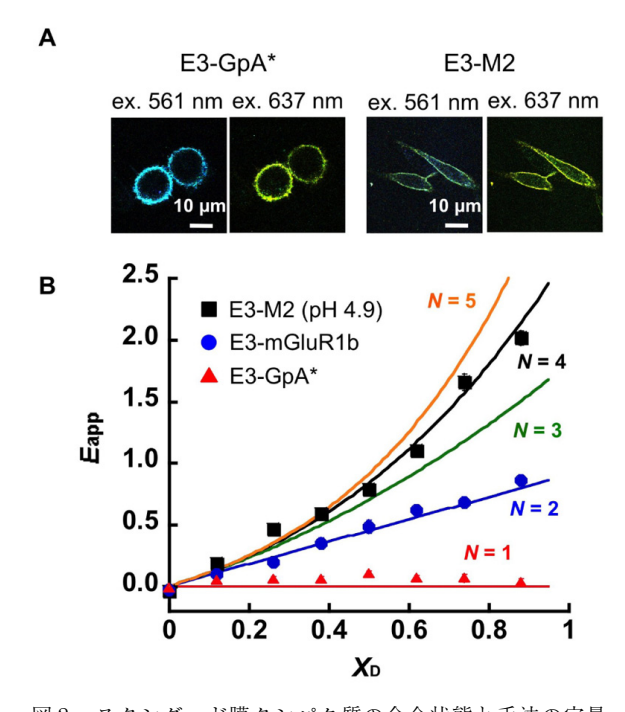


図 2 スタンダード膜タンパク質の会合状態と手法の定量性の証明 (A) E3-GpA\*とE3-M2を一過性発現させた CHO 細胞を K4プローブ ( $X_D$ =0.50) で標識。(B)  $E_{app}$ 値の  $X_D$  依存性曲線。単量体 (N=1),二量体 (N=2),三量体 (N=3),四量体 (N=4),五量体 (N=5) の理論曲線を式 2 より算出。これに対して,実験から求めた E3-GpA\* (pH 7.4),E3-mGluRlb (pH 7.4),E3-M2 (pH 4.9) の  $E_{app}$  実測値(式 1 )をそれぞれ $\blacktriangle$ , $\blacksquare$ でプロットした。

会合数の定量的解析は、 $E_{app}$ の実測値 [式 1] と理論値 [式 2] のグラフを比較する事で行いました(② 2B)。

$$E_{app} = E \times \frac{X_D}{1 - X_D} \times [1 - \{X_D(1 - X'_U) + X'_U\}^{N-1}] \quad [\vec{x}, 2]$$

· $X_D$  : ドナーモル分率 (=[D]/([D]+[A]))(注1)

・E : 真の FRET 効率 (=1.0) (注2)

 $\cdot X_{U}$ : 非ラベルフラクション  $(=0.1)^{(23)}$ 

(注1) ドナー存在下ではアクセプターの直接励起分  $F_A$  を求めることはできない。そこで,アクセプター単独染色した別サンプルを用いて, $561 \, \mathrm{nm} \, \mathrm{c}$  637  $\mathrm{nm}$  で励起したときのアクセプターの蛍光強度比( $R_{561/637}$ )をとり,共染色した本サンプルを637  $\mathrm{nm}$  で励起したときのアクセプター蛍光強度に $R_{561/637}$ を乗じることで  $F_A$  を算出した。

(注2) ドナーとアクセプターの仕込み時の混合比率。 実際の膜タンパク質のラベル比率ではない。

(注3) ドナーとアクセプターが十分に近接して100% の FRET 効率が起きると仮定。

(注4)50 nMで90%の目的タンパク質をラベルできるため。

コイルドコイルラベル法を用いた FRET 測定で膜タンパク質の会合状態を正しく解析できることを証明するために、単量体(グリコフォリン A 変異体:GpA\*)、二量体(代謝型グルタミン酸受容体:mGluRlb)、四量体(M2タンパク質:M2(pH 4.9))を形成することが既に報告されている 3つのスタンダード膜タンパク質の解析を行ったところ、理論曲線と対応する結果が得られたことから、この手法を用いて受容体の会合状態を正しく解析可能なことが明らかになりました $^4$ (図28)。

## 4. β<sub>2</sub>AR の会合状態

β<sub>2</sub>ARは、創薬の重要なターゲットとされるGタン パク質共役型受容体(GPCR)の典型例でありなが ら、その会合状態については研究グループ間で論争が 続いていました<sup>5,6</sup>。2種類の細胞株でβ<sub>2</sub>ARの会合状 態について調べましたところ、チャイニーズハムス ター卵巣 (CHO) 細胞では、様々な条件下 (温度や リガンド刺激、発現方法)において、全くFRETシ グナルが検出されませんでした(図3A)。一方,ポ ジティブコントロールとして抗β2AR 抗体とプロテイ ンAでβ<sub>2</sub>AR をクロスリンクした場合では FRET シグ ナルの有意な上昇が見られた(図3A, B) ことから, β<sub>2</sub>AR が多量体を形成していれば FRET シグナルを検 出できることを証明しています。また、ヒト胎児腎 (HEK293) 細胞でもほとんどの条件において FRET シグナルが検出されませんでしたが、β<sub>2</sub>ARのアゴニ スト (isoproterenol) で刺激した時にのみ、細胞膜 上でわずかな $E_{app}$ の上昇が見られました(図3B, iso (membrane))。そこで、会合状態( $E_{app}$ 値の上昇) とシグナル伝達 (cAMP 応答) の経時的変化を追った ところ、多量体形成は刺激開始から少なくとも10分以 降でしか検出されなかったのに対して、シグナル伝達 は刺激開始からわずか5分後には見られたことから (図3C), 多量体形成よりもシグナル伝達や内在化の 方が早く起こることが分かりました4。

これらの結果から、 $\beta_2AR$  は定常的にホモオリゴマーを形成しておらず、また、シグナル伝達や内在化に多量体形成は必要ではないことが明らかになりました $^4$ 。 筆者は、この他にも GPCR の代表例であるドーパミン受容体 D2R やプロスタグランジン受容体 EP1R、ケモカイン受容体 CXCR4の会合状態について調べましたが、結果は  $\beta_2AR$  と同様でした(図3D)。こちらの詳細に関しては参考文献 7 をご覧下さい。

### 5. M2タンパク質の会合状態

M2タンパク質は、A型インフルエンザウイルスのエンベロープに発現するプロトンチャネルであり、ウイルスの増殖に必要不可欠な役割を果たしています。近年の報告により、ミセルやリポソーム中においてM2のフラグメントペプチドは安定な四量体を形成すると考えられていますが<sup>8</sup>、実際の生体膜中での会合状態は明らかにされていません。本研究では、生体膜中における全長M2タンパク質の会合状態を解析すると共に、プロトンチャネル活性との関連性について調べました。

会合状態の解析結果では、生体膜中における M29 ンパク質は、酸性 pH では四量体を形成しますが、中性付近の pH では二量体で存在することを明らかにしました( $\mathbf{24A}$ ,  $\mathbf{8}$ )。つまり、M2は既存モデルで提唱されているような安定な四量体ではなく、pH に応じて会合状態が変化して二量体と四量体の平衡状態にあると考えられます。一方、抗ウイルス薬アマンタジン塩酸塩(Am)存在下では四量体形成が完全に阻害されて、酸性条件(< pH 5.5)でも二量体でしか存在できなくなりました( $\mathbf{24B}$ )。

次にプロトンチャネル活性を調べるため、pH感受性色素 SNARF-4F を細胞内にローディングし、細胞外液を酸性 pH 溶液に交換しました。M2チャネルを通って細胞内に流入した見かけ上の  $H^+$ 濃度( $[H^+]$ )をプロットし、以下の一次指数関数を用いて速度定数 k ( $s^{-1}$ ) を算出しました。

 $[H^+]_{in}(t) = [H^+]_{out}(0) + ([H^+]_{in}(0) - [H^+]_{out}(0))e^{-kt}$  [式 3]

・[H+]<sub>in</sub>(t) : 細胞外液を酸性 pH に交換してから t 秒 後の細胞内のプロトン濃度 (M)

·[H<sup>+</sup>]<sub>in</sub>(0) : 外液交換後 t=0秒に於ける細胞内のプロトン濃度 (M)

・ $[H^+]_{out}(0)$ : 外液交換後 t=0秒に於ける細胞外のプロトン濃度 (M)

k値を細胞膜上の M2発現量で割って得られた値がチャネル活性  $\gamma$  ( $\mathbf{s}^{-1}$  protein $^{-1}$ ) です。解析の結果,四量体 ( $\mathbf{pH}$  4.9) だけでなく二量体 ( $\mathbf{pH}$  6.0) でもチャネル活性を有することが分かりました( $\mathbf{24C}$ )。コレステロール除去剤( $\mathbf{M}\beta\mathbf{CD}$ )により,二量体では顕著にチャネル活性が低下したのに対して,四量体では変化が見られませんでした。一方, $\mathbf{Am}$  存在下では,両方のチャネル活性が阻害されました( $\mathbf{24C}$ )。

以上の結果をまとめますと、24Dで示すように、M29ンパク質はPHに応じて会合状態が変化し、四量体でも二量体でもチャネル活性を示します。M2二

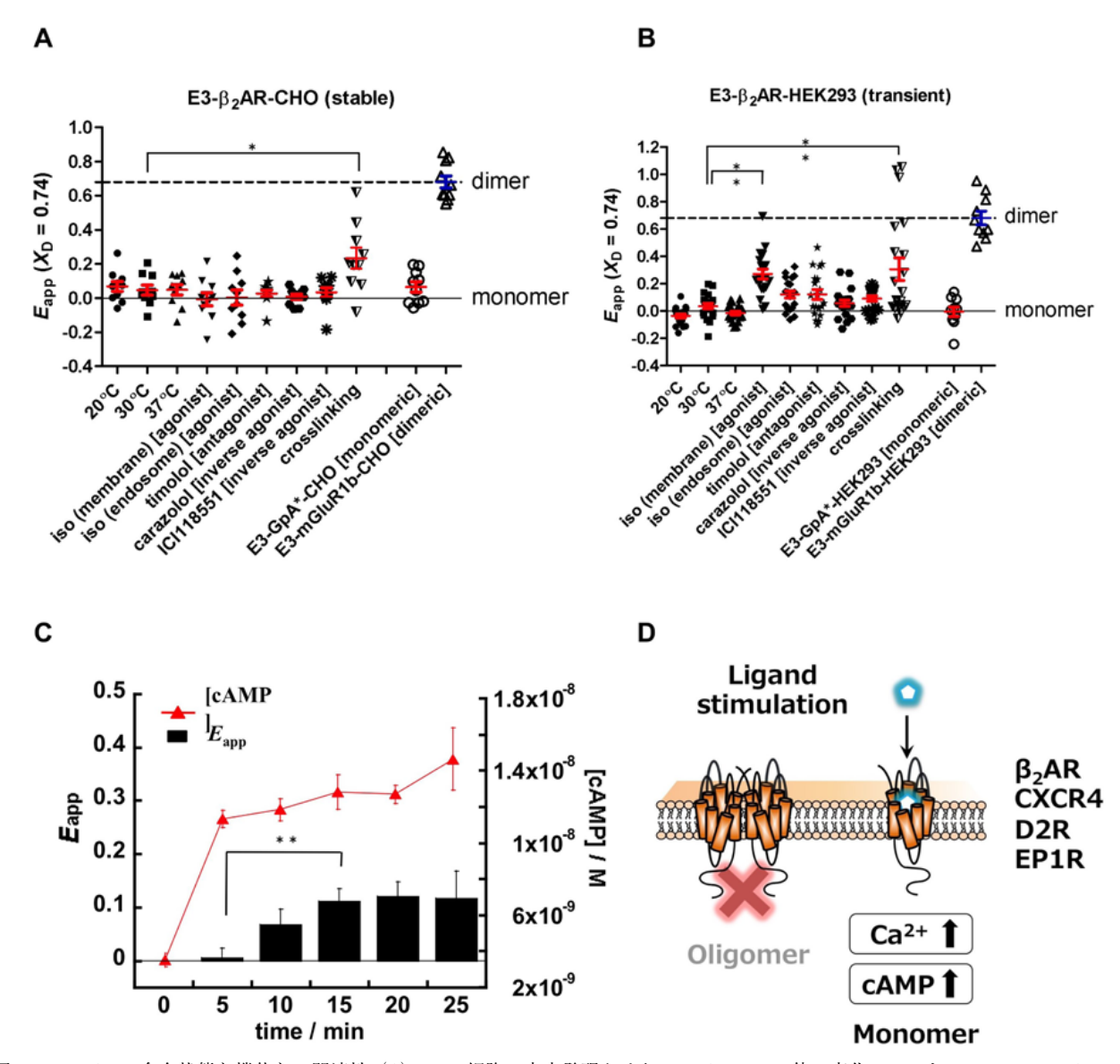


図3 E3- $\beta_2$ AR の会合状態と機能との関連性(A)CHO 細胞に安定発現させた E3- $\beta_2$ AR の  $E_{app}$  値の変化。コントロール:E3-GpA\*-CHO (一過性発現)と E3-mGluR1b-CHO(一過性発現)。  $X_D$  = 0.74でラベル。iso: isoproternol。membrane と endosome は膜領域と エンドソーム領域の解析結果。ダッシュ線と直線は単量体と100%二量体をそれぞれ形成した時の  $E_{app}$  の理論値。(B)HEK293 細胞に一過性発現させた E3- $\beta_2$ AR の  $E_{app}$  値の変化。(C)HEK293細胞に一過性発現させた E3- $\beta_2$ AR を isoproterenol 刺激した時の  $E_{app}$  値と cAMP 応答の経時的変化。(D)GPCR 会合状態と機能のモデル。

量体はコレステロールと複合体を形成しており、プロトン伝達経路を形成するのにコレステロールが必要不可欠です。一方、四量体は中央部分にポアを有しているため、チャネル活性にコレステロールを必要としていません。Amは、M2二量体に結合することで四量体形成とチャネル活性を阻害しています。これらことから、M2チャネルの最小機能単位は二量体であると考えております。

## 6. おわりに (将来への展望)

筆者は学生時代から、膜タンパク質の会合状態と機能の関連性を研究してきましたが、奥が深く興味の尽きる事はありません。昨年より二木教授と共に生体膜の物性と膜透過ペプチドに関する研究を進めて参りました<sup>10</sup>。近年、膜タンパク質の会合や機能は、生体膜の物性(張力や曲率、側方圧など)にも影響されるこ

とが報告されています。生体膜の物性が膜タンパク質の活性化の鍵を握っているのであれば、細胞内外のシグナル伝達にも関与している可能性を示唆しています。将来的に膜物性の観点から細胞機能制御機構を解明し、さらには創薬の種を提案するような研究が出来れば、全く新しい切り口からのアプローチになりますので個人的には面白いと考えております。

## References

- 1. Yano, Y.; Yano, A.; Oishi, S.; Sugimoto, Y.; Tsujimoto, G.; Fujii, N.; Matsuzaki, K. ACS Chem Biol 2008, 3, 341–345.
- 2. Yano, Y.; Kawano, K.; Omae, K.; Matsuzaki, K. Methods Enzymol 2012, 504, 355–370.
- Fung, J. J.; Deupi, X.; Pardo, L.; Yao, X. J.; Velez-Ruiz, G. A.; Devree, B. T.; Sunahara, R. K.; Kobilka, B. K. EMBO J 2009, 28, 3315–3328.

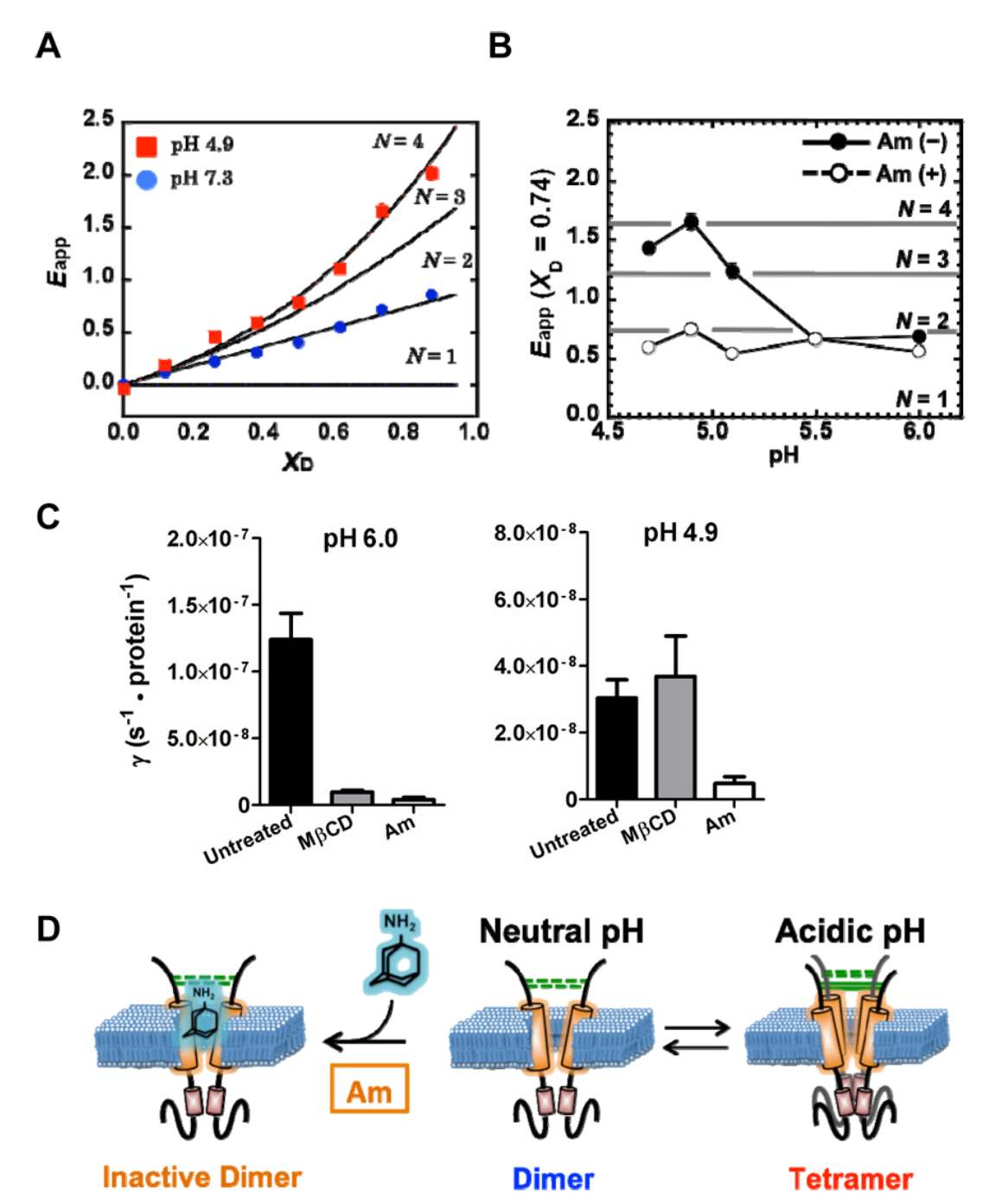


図 4 E3-M2の会合状態の pH 依存性(A) pH 4.9と7.3における M2の会合状態。Fig. 2B に同じ。(B) アマンタジン(Am) 存在下と非存在下における  $E_{app}$  値の pH 依存性。 上の直線から四量体(N=4),三量体(N=3),二量体(N=2),単量体(N=1)の理論値。(C) チャネル活性の pH 依存性。コレステロール除去処理( $M\beta$ CD)及び Am 添加時の結果。(D)二量体-四量体平衡モデル。中性 pH では二量体として存在し,酸性 pH では四量体を形成する。Am 存在下では四量体形成及びチャネル活性を阻害される

- Kawano, K.; Yano, Y.; Omae, K.; Matsuzaki, S.; Matsuzaki, K. Anal Chem 2013. 85. 3454–3461.
- 5. Bouvier, M.; Heveker, N.; Jockers, R.; Marullo, S.; Milligan, G. Nat Methods 2007, 4, 3–4; author reply 4.
- 6. Salahpour, A.; Masri, B. Nat Methods, 2007, 4, 599-600; author reply 601.
- Kawano, K.; Yagi, T.; Fukada, N.; Yano, Y.; Matsuzaki, K. J Pept. Sci 2017, 23, 650–658.
- 8. Stouffer, A. L.; Acharya, R.; Salom, D.; Levine, A. S.; Di Costanzo, L.; Soto, C. S.; Tereshko, V.; Nanda, V.; Stayrook, S.; DeGrado, W. F. Nature 2008, 451, 596–599.

- Kawano, K.; Yano, Y.; Matsuzaki, K. J Mol Biol 2014, 426, 2679–2691.
- 10. Murayama, T.; Masuda, T.; Afonin, S.; Kawano, K.; Takatani-Nakase, T.; Ida, H.; Takahashi, Y.; Fukuma, T.; Ulrich, AS.; Futaki, S. Angew Chem Int Ed 2017, 56, 7644–7647.

かわの けんいち 京都大学化学研究所 kawano.kenichi.2u@kyoto-u.ac.jp